

Estructura de la Materia 2

Clase 12 - Teoría

Docentes

Gustavo Grinblat, Andrea Barral, Tomás Bortolin, Agustina Casafuz

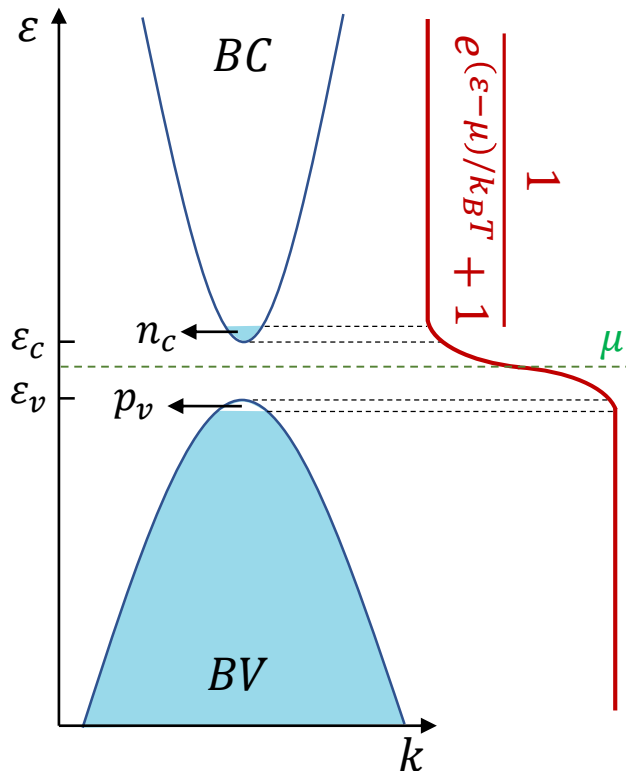
Departamento de Física, FCEN, UBA – 2do Cuatrimestre, 2020

Web: <http://materias.df.uba.ar/edlm2a2020c2>

Repaso

Semiconductor en equilibrio térmico y caso intrínseco

$$\begin{cases} n_c(T) = \int_{\varepsilon_c}^{\infty} f(\varepsilon) g_c(\varepsilon) d\varepsilon = \int_{\varepsilon_c}^{\infty} [e^{(\varepsilon-\mu)/k_B T} + 1]^{-1} g_c(\varepsilon) d\varepsilon \\ p_v(T) = \int_{-\infty}^{\varepsilon_v} (1 - f(\varepsilon)) g_v(\varepsilon) d\varepsilon = \int_{-\infty}^{\varepsilon_v} [e^{(\mu-\varepsilon)/k_B T} + 1]^{-1} g_v(\varepsilon) d\varepsilon \end{cases} \begin{cases} \varepsilon_c - \mu \gg k_B T \\ \mu - \varepsilon_v \gg k_B T \end{cases} \text{ (Condición de no-degeneración)}$$



$$\begin{cases} n_c(T) = N_c(T) e^{-\frac{\varepsilon_c - \mu}{k_B T}} \\ p_v(T) = P_v(T) e^{-\frac{\mu - \varepsilon_v}{k_B T}} \end{cases} \begin{cases} N_c(T) = \int_{\varepsilon_c}^{\infty} e^{-\frac{\varepsilon - \varepsilon_c}{k_B T}} g_c(\varepsilon) d\varepsilon = \frac{1}{4} \left(\frac{2m_c k_B T}{\pi \hbar^2} \right)^{3/2} \\ P_v(T) = \int_{-\infty}^{\varepsilon_v} e^{-\frac{\varepsilon_v - \varepsilon}{k_B T}} g_v(\varepsilon) d\varepsilon = \frac{1}{4} \left(\frac{2m_v k_B T}{\pi \hbar^2} \right)^{3/2} \end{cases}$$

$$n_c p_v = N_c P_v e^{-\frac{\varepsilon_c - \varepsilon_v}{k_B T}} = N_c P_v e^{-\frac{E_g}{k_B T}} = n_i^2$$

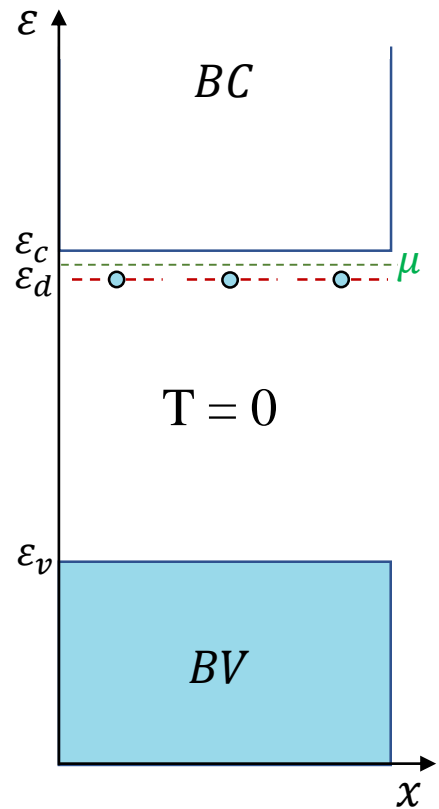
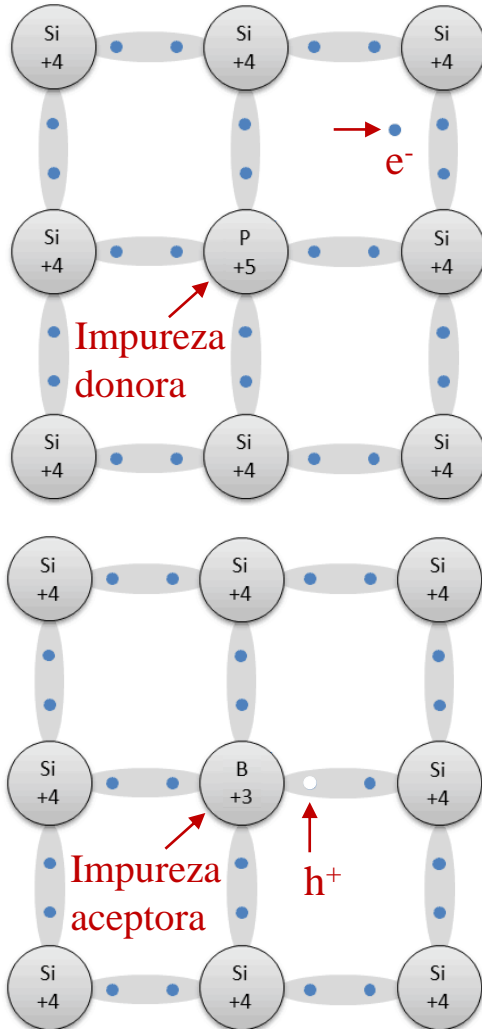
Ley de acción de masas

$$\begin{cases} n_i(T) = [N_c P_v]^{1/2} e^{-\frac{E_g}{2k_B T}} = \frac{1}{4} \left(\frac{2k_B T}{\pi \hbar^2} \right)^{3/2} (m_c m_v)^{3/4} e^{-\frac{E_g}{2k_B T}} = n_c^{(i)} = p_v^{(i)} \\ \mu_i = \varepsilon_v + \frac{E_g}{2} + \frac{1}{2} k_B T \ln \left(\frac{P_v}{N_c} \right) = \varepsilon_v + \frac{E_g}{2} + \frac{3}{4} k_B T \ln \left(\frac{m_v}{m_c} \right) \end{cases}$$

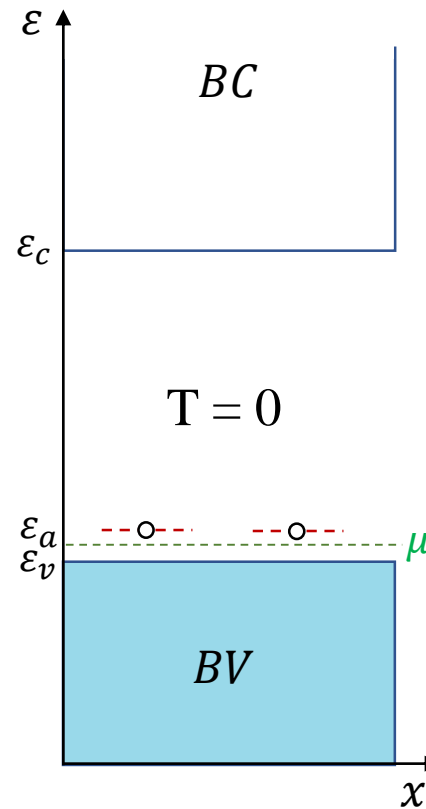
Repaso

Semiconductor extrínseco

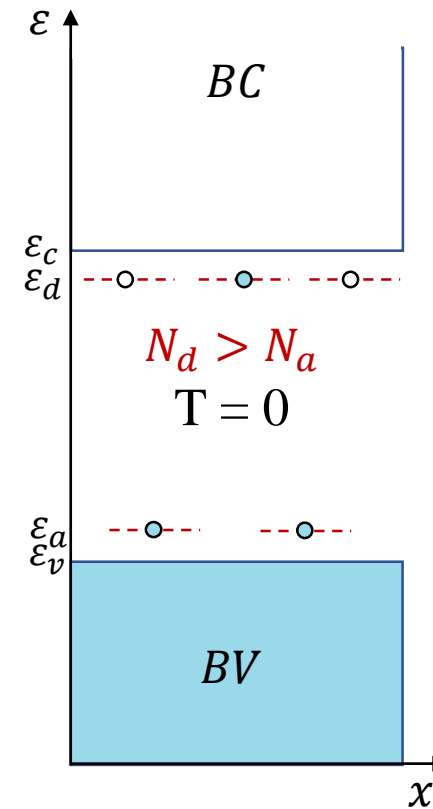
Dopamos al semiconductor con una baja concentración de impurezas donoras o aceptoras.



$$n_d = \frac{N_d}{\frac{1}{2} e^{\beta(\epsilon_d - \mu)} + 1}$$



$$p_a = \frac{N_a}{\frac{1}{2} e^{\beta(\mu - \epsilon_a)} + 1}$$



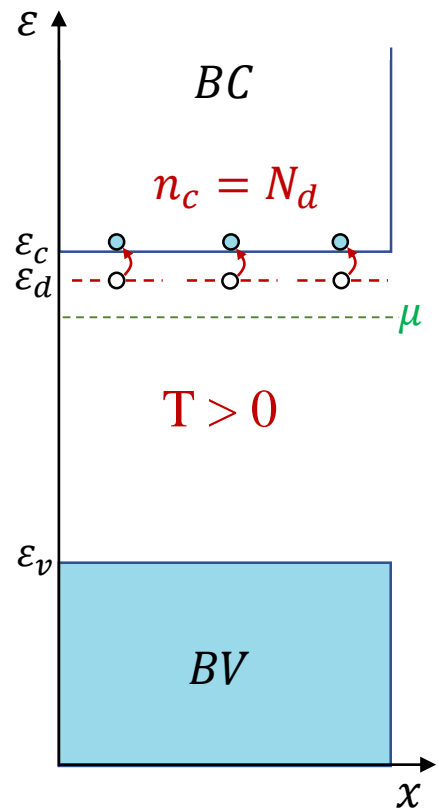
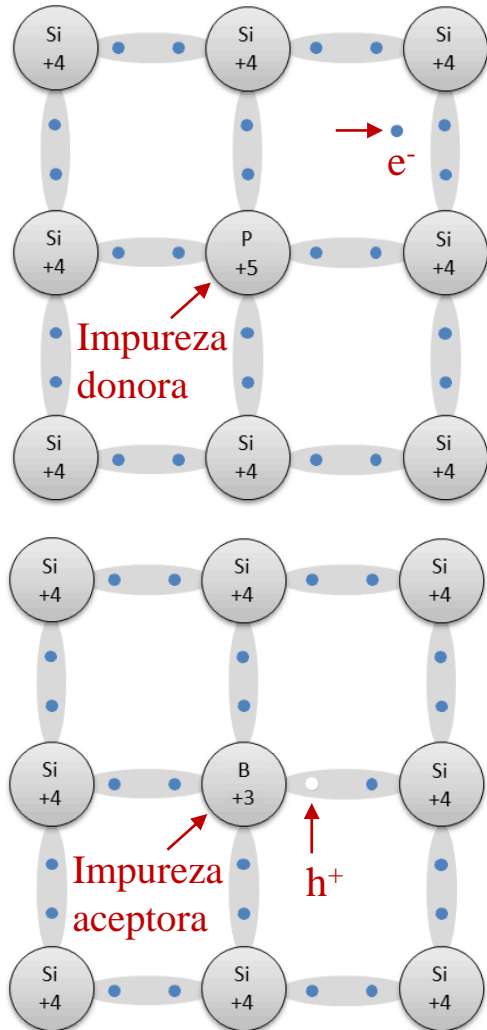
$$n_c + n_d = N_d - N_a + p_v + p_a$$

Balance de carga

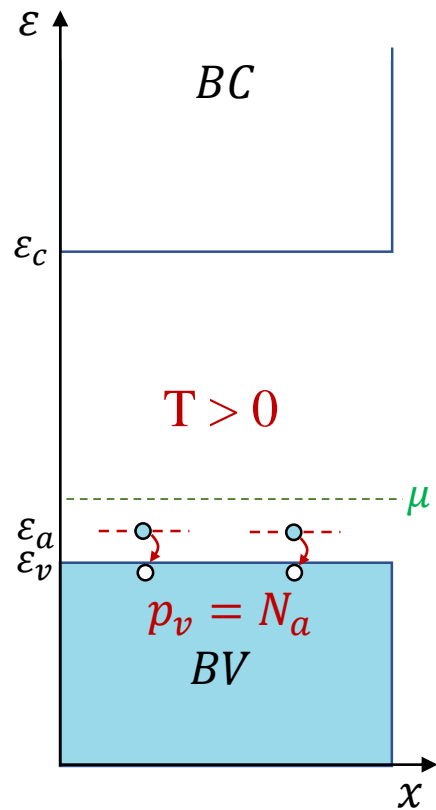
Repaso

Semiconductor extrínseco

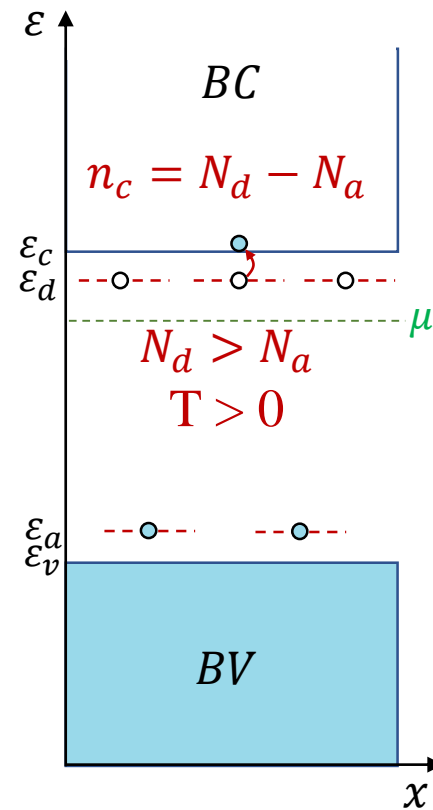
Dopamos al semiconductor con una baja concentración de impurezas donoras o aceptoras. **Cond. de no-deg. para niveles de impurezas**



$$n_d = \frac{N_d}{\frac{1}{2} e^{\beta(\epsilon_d - \mu)} + 1}$$



$$p_a = \frac{N_a}{\frac{1}{2} e^{\beta(\mu - \epsilon_a)} + 1}$$



$$n_c + n_d = N_d - N_a + p_v + p_a$$

Balance de carga

Cond. de no-deg. para niveles de impurezas

$$\begin{cases} \epsilon_d - \mu \gg k_B T \\ \mu - \epsilon_a \gg k_B T \end{cases}$$

$$\Delta n = n_c - p_v = N_d - N_a$$

Impurezas totalmente ionizadas

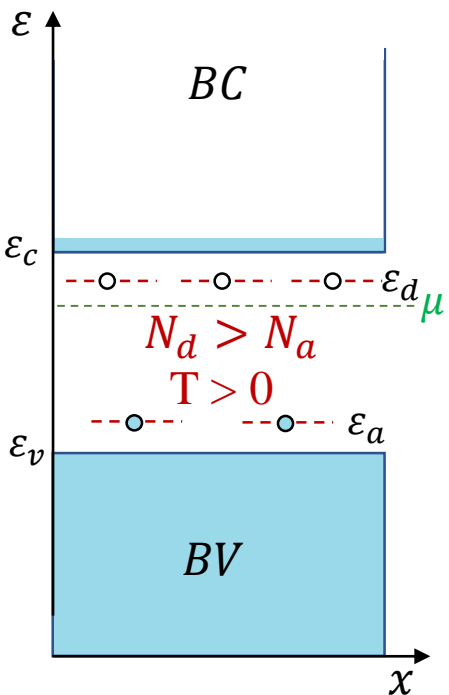
Repaso

Semiconductor extrínseco

$$\begin{cases} n_c p_v = n_i^2 \\ n_c - p_v = \Delta n \end{cases} \rightarrow \begin{cases} n_c \\ p_v \end{cases} = \pm \frac{1}{2} (\Delta n) + \frac{1}{2} [(\Delta n)^2 + 4n_i^2]^{\frac{1}{2}}; \quad \begin{cases} n_c = e^{\beta(\mu - \mu_i)} n_i \\ p_v = e^{-\beta(\mu - \mu_i)} n_i \end{cases} \rightarrow \frac{\Delta n}{n_i} = 2 \sinh(\beta(\mu - \mu_i))$$

$$\begin{cases} \varepsilon_d - \mu \gg k_B T \\ \mu - \varepsilon_a \gg k_B T \end{cases} \rightarrow \begin{cases} n_c \\ p_v \end{cases} = \pm \frac{1}{2} (N_d - N_a) + \frac{1}{2} [(N_d - N_a)^2 + 4n_i^2]^{\frac{1}{2}}$$

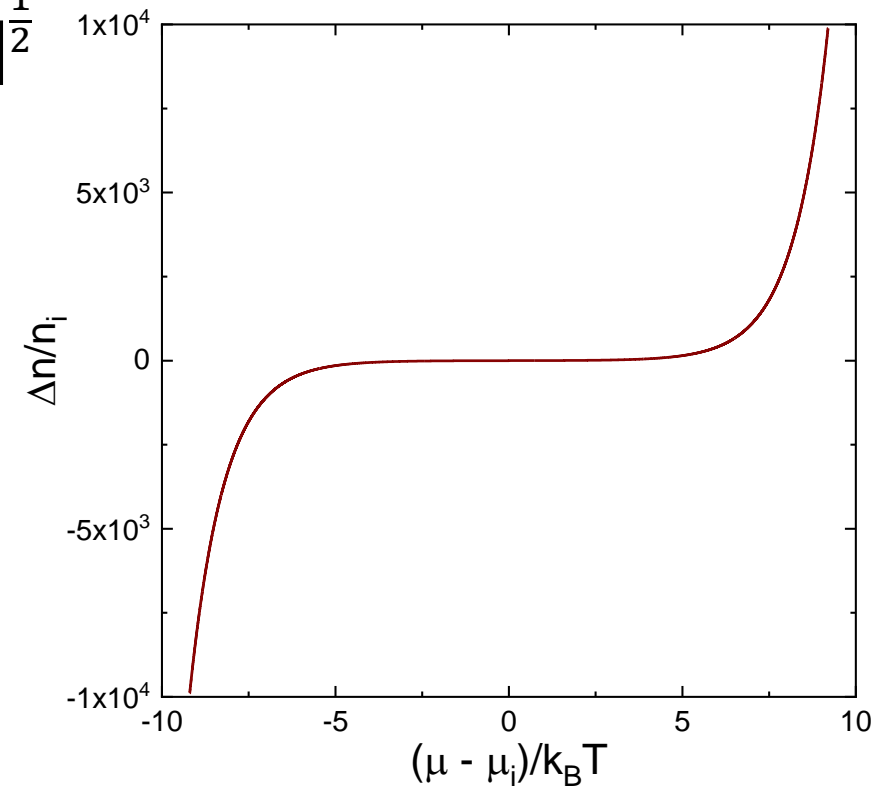
$$n_i \gg |N_d - N_a| \rightarrow \begin{cases} n_c \\ p_v \end{cases} \approx \pm \frac{1}{2} (N_d - N_a) + n_i$$



$$n_i \ll |N_d - N_a|$$

$$\begin{cases} \varepsilon_d - \mu \gg k_B T \\ \mu - \varepsilon_a \gg k_B T \end{cases}$$

$$\begin{cases} N_d > N_a \\ N_a > N_d \end{cases} \begin{cases} n_c \approx N_d - N_a \\ p_v \approx \frac{n_i^2}{N_d - N_a} \\ n_c \approx \frac{n_i^2}{N_a - N_d} \\ p_v \approx N_a - N_d \end{cases}$$



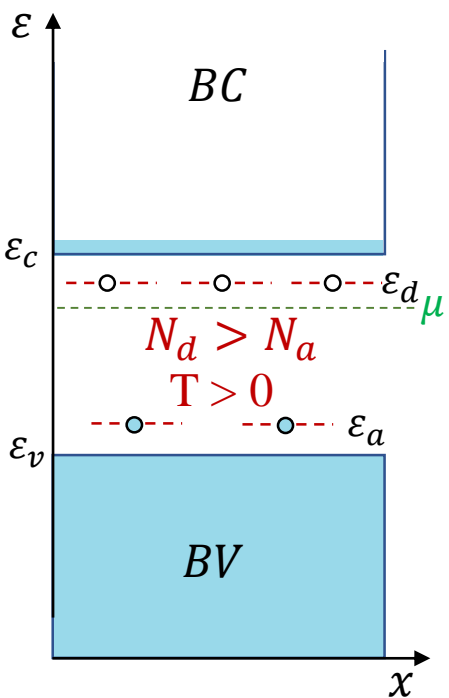
Repaso

Semiconductor extrínseco

$$\begin{cases} n_c p_v = n_i^2 \\ n_c - p_v = \Delta n \end{cases} \rightarrow \begin{cases} n_c \\ p_v \end{cases} = \pm \frac{1}{2} (\Delta n) + \frac{1}{2} [(\Delta n)^2 + 4n_i^2]^{\frac{1}{2}}; \quad \begin{cases} n_c = e^{\beta(\mu - \mu_i)} n_i \\ p_v = e^{-\beta(\mu - \mu_i)} n_i \end{cases} \rightarrow \frac{\Delta n}{n_i} = 2 \sinh(\beta(\mu - \mu_i))$$

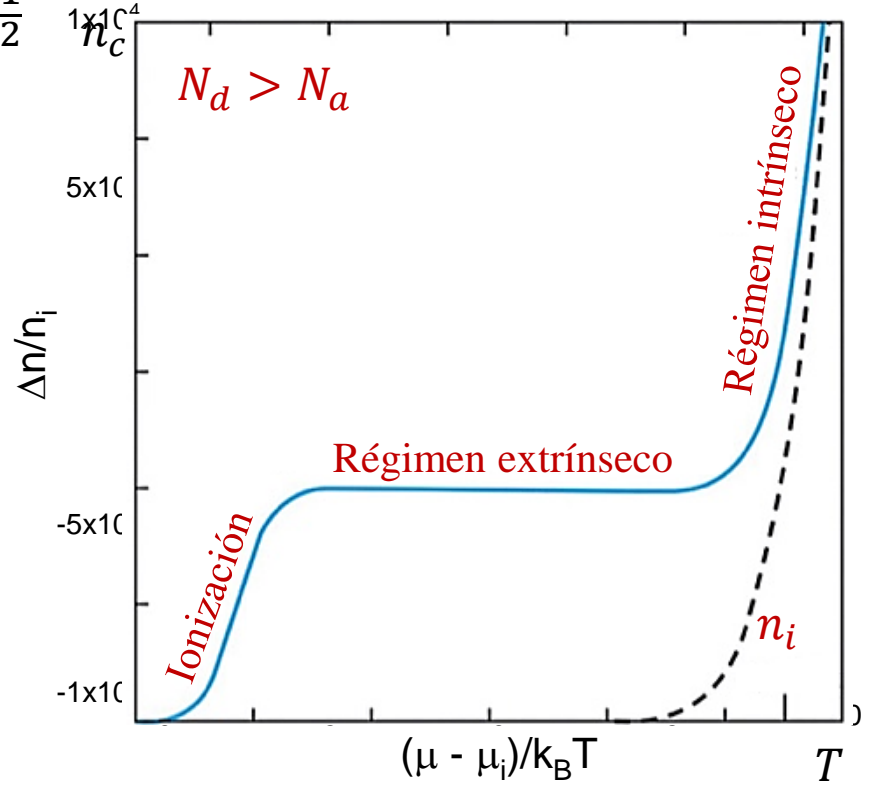
$$\begin{cases} \varepsilon_d - \mu \gg k_B T \\ \mu - \varepsilon_a \gg k_B T \end{cases} \rightarrow \begin{cases} n_c \\ p_v \end{cases} = \pm \frac{1}{2} (N_d - N_a) + \frac{1}{2} [(N_d - N_a)^2 + 4n_i^2]^{\frac{1}{2}}$$

$$n_i \gg |N_d - N_a| \rightarrow \begin{cases} n_c \\ p_v \end{cases} \approx \pm \frac{1}{2} (N_d - N_a) + n_i$$



$$n_i \ll |N_d - N_a| \rightarrow \begin{cases} \varepsilon_d - \mu \gg k_B T \\ \mu - \varepsilon_a \gg k_B T \end{cases}$$

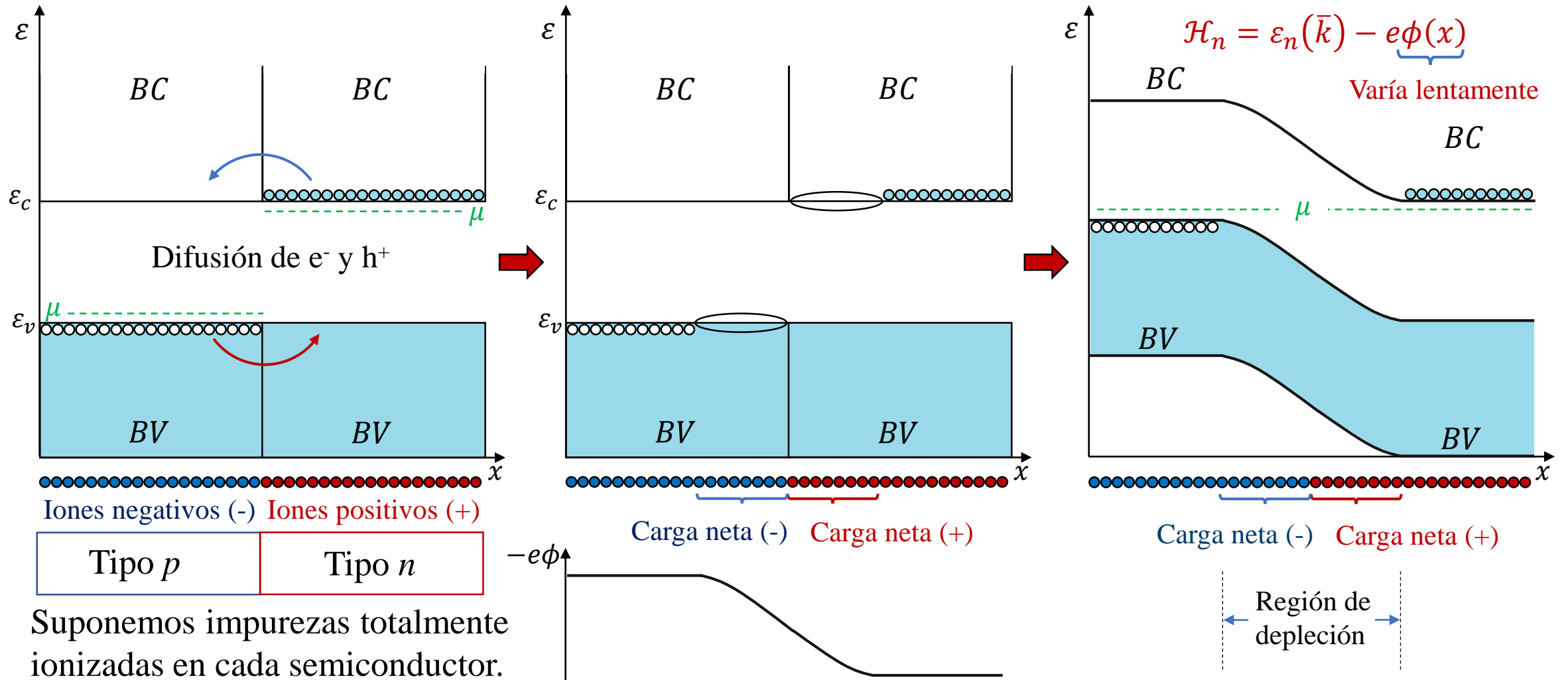
$$\begin{cases} N_d > N_a \\ N_a > N_d \end{cases} \rightarrow \begin{cases} n_c \approx N_d - N_a \\ p_v \approx \frac{n_i^2}{N_d - N_a} \\ n_c \approx \frac{n_i^2}{N_a - N_d} \\ p_v \approx N_a - N_d \end{cases}$$



Juntura semiconductor $p-n$

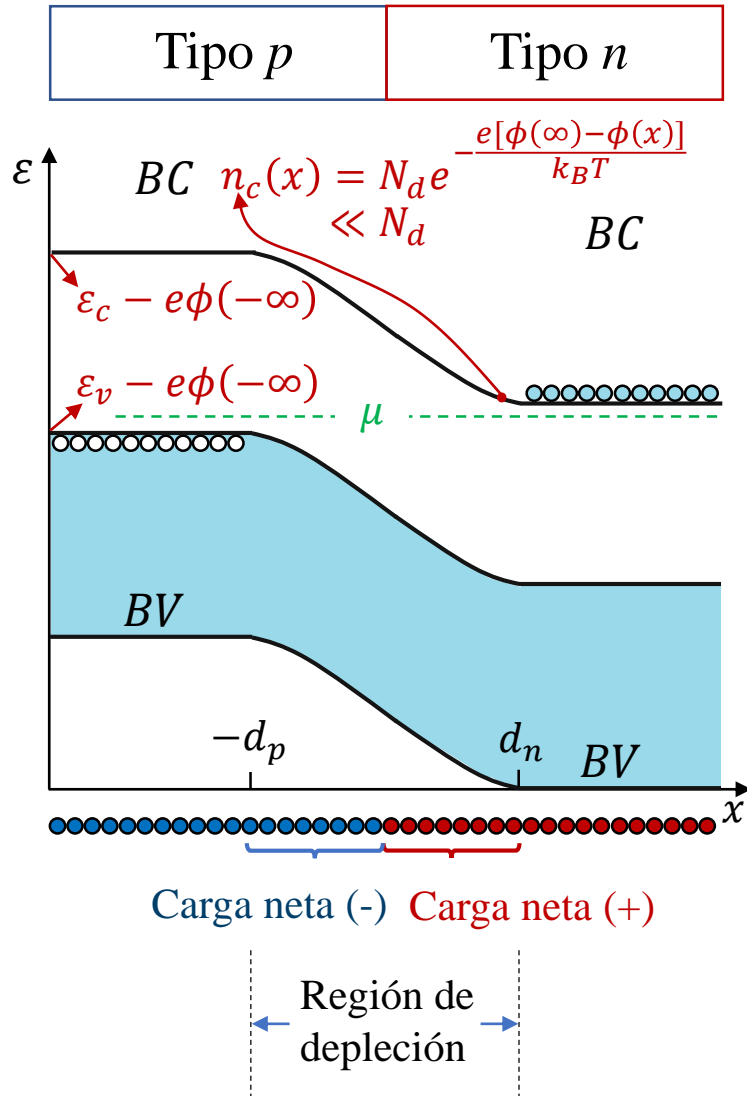
Juntura semiconductor $p-n$

Construimos una juntura $p-n$ poniendo semiconductores tipo p y n en contacto directo.



Juntura semiconductor $p-n$

Juntura semiconductor $p-n$: Región de depleción



$$\mathcal{H}_n = \epsilon_n(\bar{k}) - e\phi(x)$$

$$\begin{cases} n_c(x) = N_c(T) e^{-\frac{[\epsilon_c - e\phi(x) - \mu]}{k_B T}} \\ p_v(x) = P_v(T) e^{-\frac{[\mu - \epsilon_v + e\phi(x)]}{k_B T}} \end{cases} \quad \begin{cases} n_c(\infty) = N_c(T) e^{-\frac{[\epsilon_c - e\phi(\infty) - \mu]}{k_B T}} = N_d \\ p_v(-\infty) = P_v(T) e^{-\frac{[\mu - \epsilon_v + e\phi(-\infty)]}{k_B T}} = N_a \end{cases}$$

$$\rightarrow \mu = k_B T \ln \frac{N_d}{N_c} + \epsilon_c - e\phi(\infty) = k_B T \ln \frac{P_v}{N_a} + \epsilon_v - e\phi(-\infty)$$

$$\rightarrow e[\phi(\infty) - \phi(-\infty)] = e\Delta\phi = E_g + k_B T \ln \left[\frac{N_d N_a}{N_c P_v} \right]$$

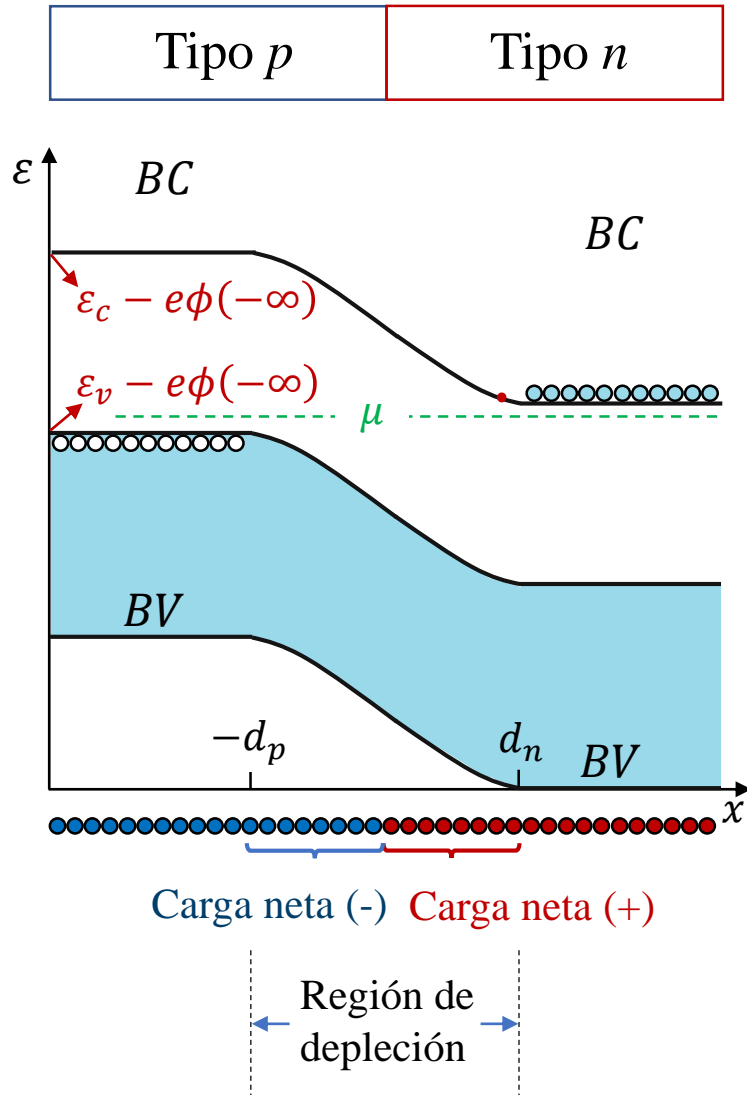
Nos sirve como condición de contorno para determinar $\phi(x)$ de la ecuación de Poisson: $\nabla^2 \phi = \frac{d^2 \phi}{dx^2} = -\frac{4\pi\rho(x)}{\epsilon}$

Fuera de la región de depleción: $\rho(x) = 0$

Dentro de la región de depleción: $\rho(x) = \begin{cases} eN_d, & x > 0 \\ -eN_a, & x < 0 \end{cases}$

Juntura semiconductor p-n

Juntura semiconductor p-n: Región de depleción



$$\phi''(x) = \begin{cases} 0, & x > d_n \\ -\frac{4\pi e N_d}{\epsilon}, & d_n > x > 0 \\ \frac{4\pi e N_a}{\epsilon}, & 0 > x > -d_p \\ 0, & -d_p > x \end{cases} \quad \phi(x) = \begin{cases} \phi(\infty) - \frac{2\pi e N_d}{\epsilon} (x - d_n)^2 \\ \phi(-\infty) + \frac{2\pi e N_a}{\epsilon} (x + d_p)^2 \\ \phi(-\infty) \end{cases}$$

Continuidad de ϕ en $x = 0 \rightarrow \Delta\phi = \frac{2\pi e}{\epsilon} (N_d d_n^2 + N_a d_p^2)$

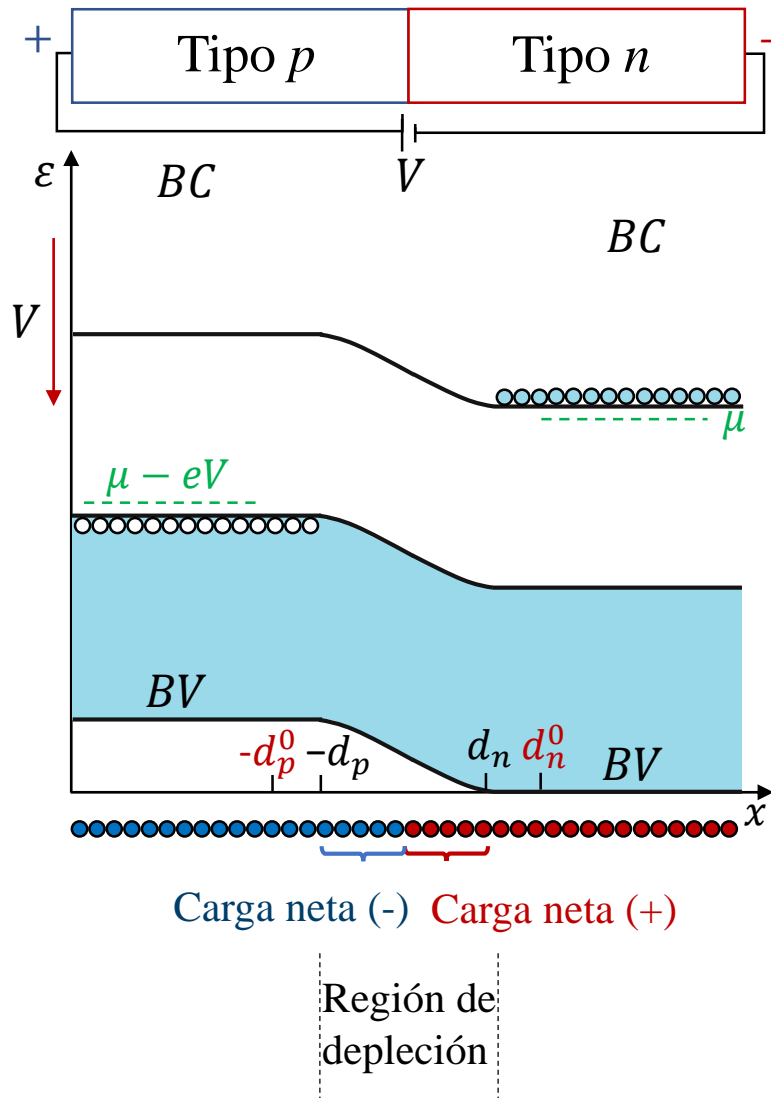
Continuidad de ϕ' en $x = 0 \rightarrow N_d d_n = N_a d_p$

$\rightarrow d_{n,p} = \left[\frac{(N_a/N_d)^{\pm 1} \epsilon \Delta\phi}{N_d + N_a} \frac{1}{2\pi e} \right]^{1/2}$ ($e\epsilon\Delta\phi \sim 1\text{eV}$, $N_a, N_d \sim 10^{16}-10^{18}\text{cm}^{-3}$
 $\rightarrow d_{n,p} \sim 10^4-10^2\text{\AA}$)

$V \neq 0 \rightarrow \Delta\phi = (\Delta\phi)_0 - V \rightarrow d_{n,p}(V) = \underbrace{d_{n,p}(0)}_{d_{n,p}^0} \left[1 - \frac{V}{(\Delta\phi)_0} \right]^{1/2}$

Juntura semiconductor p-n

Juntura semiconductor p-n: Región de depleción



$$\phi''(x) = \begin{cases} 0, & x > d_n \\ -\frac{4\pi e N_d}{\epsilon}, & d_n > x > 0 \\ \frac{4\pi e N_a}{\epsilon}, & 0 > x > -d_p \\ 0, & -d_p > x \end{cases} \quad \phi(x) = \begin{cases} \phi(\infty) \\ \phi(\infty) - \frac{2\pi e N_d}{\epsilon} (x - d_n)^2 \\ \phi(-\infty) + \frac{2\pi e N_a}{\epsilon} (x + d_p)^2 \\ \phi(-\infty) \end{cases}$$

Continuidad de ϕ en $x = 0 \rightarrow \Delta\phi = \frac{2\pi e}{\epsilon} (N_d d_n^2 + N_a d_p^2)$

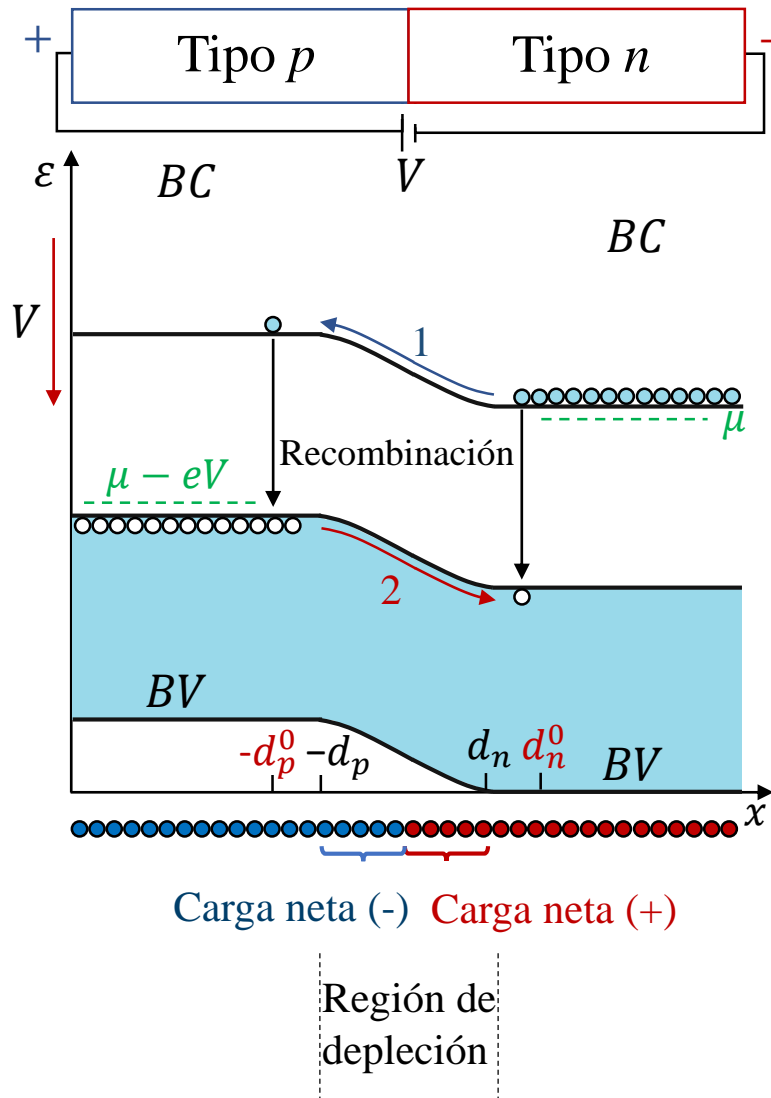
Continuidad de ϕ' en $x = 0 \rightarrow N_d d_n = N_a d_p$

$\rightarrow d_{n,p} = \left[\frac{(N_a/N_d)^{\pm 1} \epsilon \Delta\phi}{N_d + N_a} \frac{1}{2\pi e} \right]^{1/2}$ ($e\epsilon\Delta\phi \sim 1eV$, $N_a, N_d \sim 10^{16}-10^{18} \text{ cm}^{-3}$
 $\rightarrow d_{n,p} \sim 10^4-10^2 \text{ \AA}$)

$V \neq 0 \rightarrow \Delta\phi = (\Delta\phi)_0 - V \rightarrow d_{n,p}(V) = \underbrace{d_{n,p}(0)}_{d_{n,p}^0} \left[1 - \frac{V}{(\Delta\phi)_0} \right]^{1/2}$

Juntura semiconductor p-n

Juntura semiconductor p-n: Corriente a través de la juntura



Definimos: $j_e = -eJ_e$; $j_h = eJ_h$ ($J_{e,h}$: Densidades de corriente numéricas)

Escribimos $J_{e,h}$ como la suma de la corriente de deriva ($\propto E = -d\phi/dx$) y la corriente de difusión (\propto gradiente de la densidad de portadores):

$$J_e = -\mu_n n_c E - D_n \frac{dn_c}{dx}; \quad J_h = \mu_p p_v E - D_p \frac{dp_v}{dx}$$

($\mu_{n,p}$: Movilidad de e^- , h^+ ; $D_{n,p}$: Cte. de difusión de e^- , h^+)

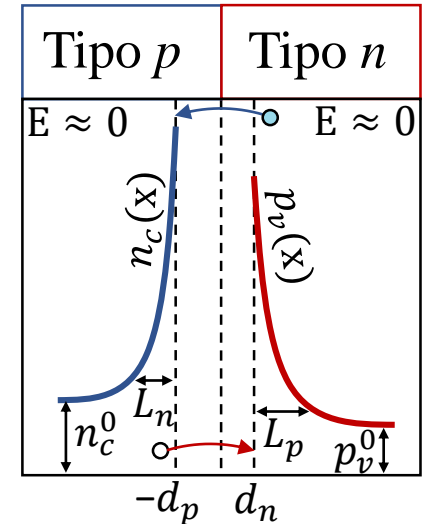
Escribimos también las ecuaciones de continuidad:

Diferencia entre el flujo de salida y entrada de portadores

$$\frac{\partial n_c}{\partial t} = \underbrace{G_e - R_e}_{\text{Diferencia entre tasa de generación y recombinación de portadores}} - \frac{\partial J_e}{\partial x}; \quad \frac{\partial p_v}{\partial t} = \underbrace{G_h - R_h}_{\text{Diferencia entre tasa de generación y recombinación de portadores}} - \frac{\partial J_h}{\partial x}$$

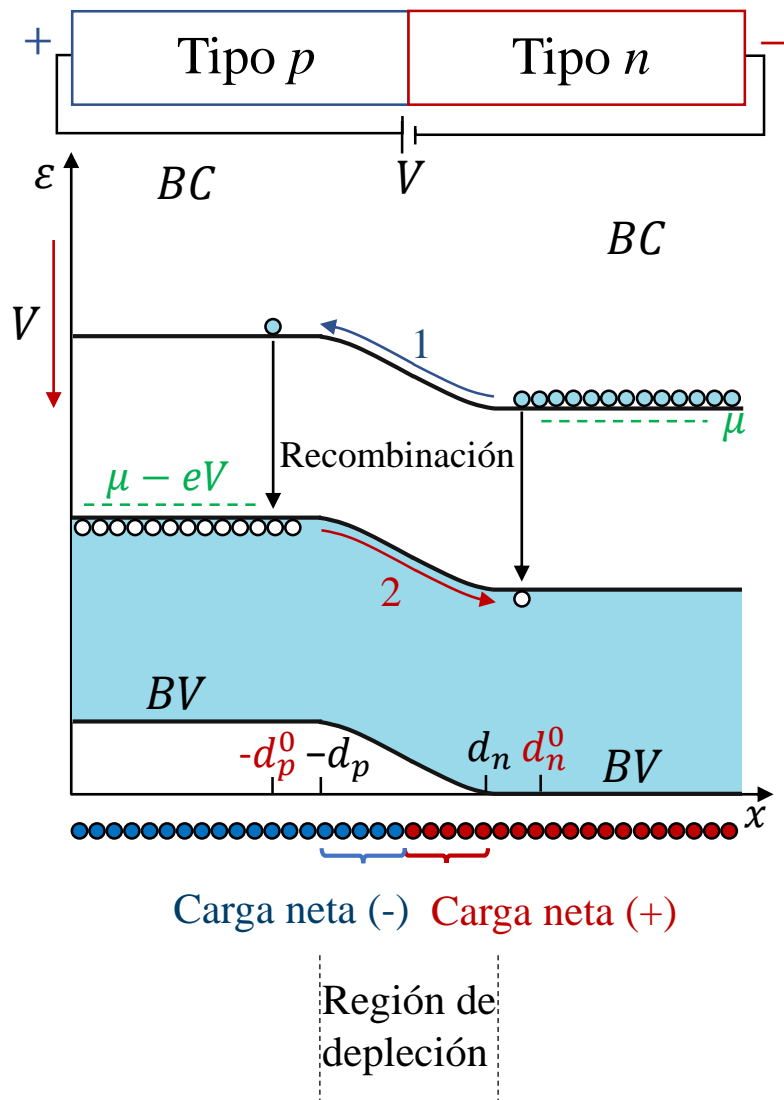
Suponemos que en la región de depleción $G_{e,h}, R_{e,h} \approx 0$, con lo cual en el estacionario J_e y J_h resultan constantes a lo largo de la misma.

$$\rightarrow j = -eJ_e(-d_p) + eJ_h(d_n)$$



Juntura semiconductor p-n

Juntura semiconductor p-n: Corriente a través de la juntura



Lado p

Escribimos: $R_e = \alpha n_c p_v$; $G_e = \alpha n_c^0 p_v^0$

(En eq. térmico $\rightarrow G_e = R_e = \alpha n_c^0 p_v^0$)

$$\rightarrow R_e - G_e = \alpha n_c p_v - \alpha n_c^0 p_v^0 \approx \alpha p_v^0 (n_c - n_c^0)$$

$$= \frac{n_c - n_c^0}{\tau_n} = n_i^2 / N_a$$

$\tau_n = 1 / \alpha p_v^0$ (Tiempo de vida e⁻)

En el estacionario: $\frac{\partial n_c}{\partial t} = 0 = -\frac{n_c - n_c^0}{\tau_n} - \frac{\partial J_e}{\partial x}$

$$\rightarrow -\frac{\partial J_e}{\partial x} = \frac{n_c - n_c^0}{\tau_n} = D_n \frac{d^2 n_c}{dx^2} \rightarrow n_c = n_c^0 + (n_c(-d_p) - n_c^0) e^{-\frac{x+d_p}{L_n}}$$

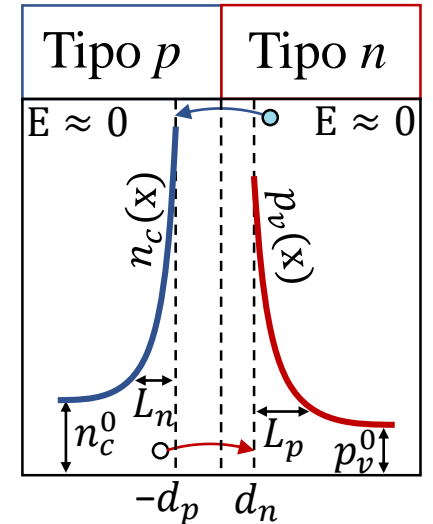
$$\rightarrow J_e(-d_p) = -\frac{D_n}{L_n} (n_c(-d_p) - n_c^0)$$

Lado n

Análogamente:

$$p_v = p_v^0 + (p_v(d_n) - p_v^0) e^{-\frac{x-d_n}{L_p}}$$

$$\rightarrow J_h(d_n) = \frac{D_p}{L_p} (p_v(d_n) - p_v^0)$$



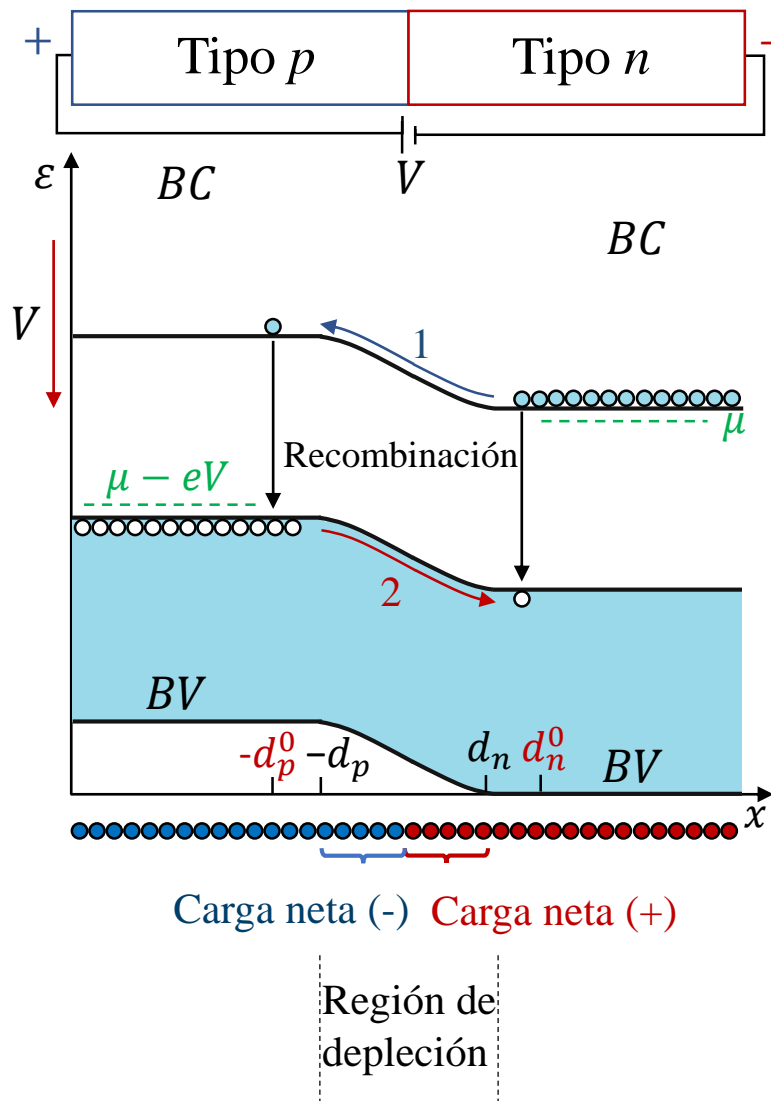
Longitudes de difusión

$$L_p = \sqrt{D_p \tau_p}$$

$$L_p = \frac{D_p}{L_p} (p_v(d_n) - p_v^0)$$

Juntura semiconductor p-n

Juntura semiconductor p-n: Corriente a través de la juntura



Lado p

$$V = 0: n_c(x) = N_c(T) e^{-\frac{[\epsilon_c - e\phi(x) - \mu]}{k_B T}}$$

$$\left\{ \begin{aligned} n_c(d_n^0) &= N_c(T) e^{-\frac{[\epsilon_c - e\phi(\infty) - \mu]}{k_B T}} = N_d \\ n_c(-d_p^0) &= N_c(T) e^{-\frac{[\epsilon_c - e\phi(-\infty) - \mu]}{k_B T}} = N_d e^{-\frac{e(\Delta\phi)_0}{k_B T}} \end{aligned} \right.$$

$$V \neq 0: n_c(-d_p) = N_d e^{-\frac{e(\Delta\phi)_0}{k_B T}} e^{\frac{V}{k_B T}} = \left(\frac{n_i^2}{N_a} \right) e^{\frac{V}{k_B T}}$$

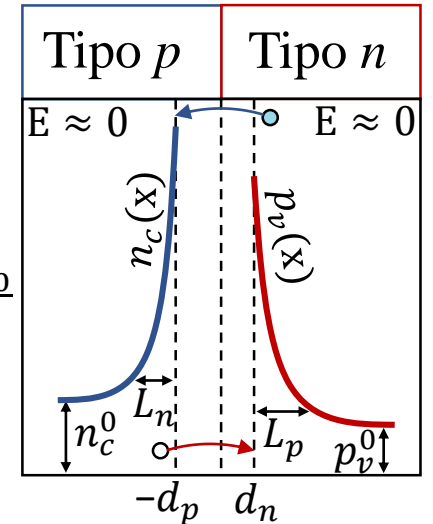
$$\rightarrow J_e(-d_p) = -\frac{D_n}{L_n} (n_c(-d_p) - n_c^0) = -\frac{D_n}{L_n N_a} n_i^2 \left(e^{\frac{V}{k_B T}} - 1 \right)$$

Lado n

$$\text{Análogamente: } p_v(d_n) = \frac{n_i^2}{N_d} e^{\frac{V}{k_B T}} \rightarrow J_h(d_n) = \frac{D_p}{L_p N_d} n_i^2 \left(e^{\frac{V}{k_B T}} - 1 \right)$$

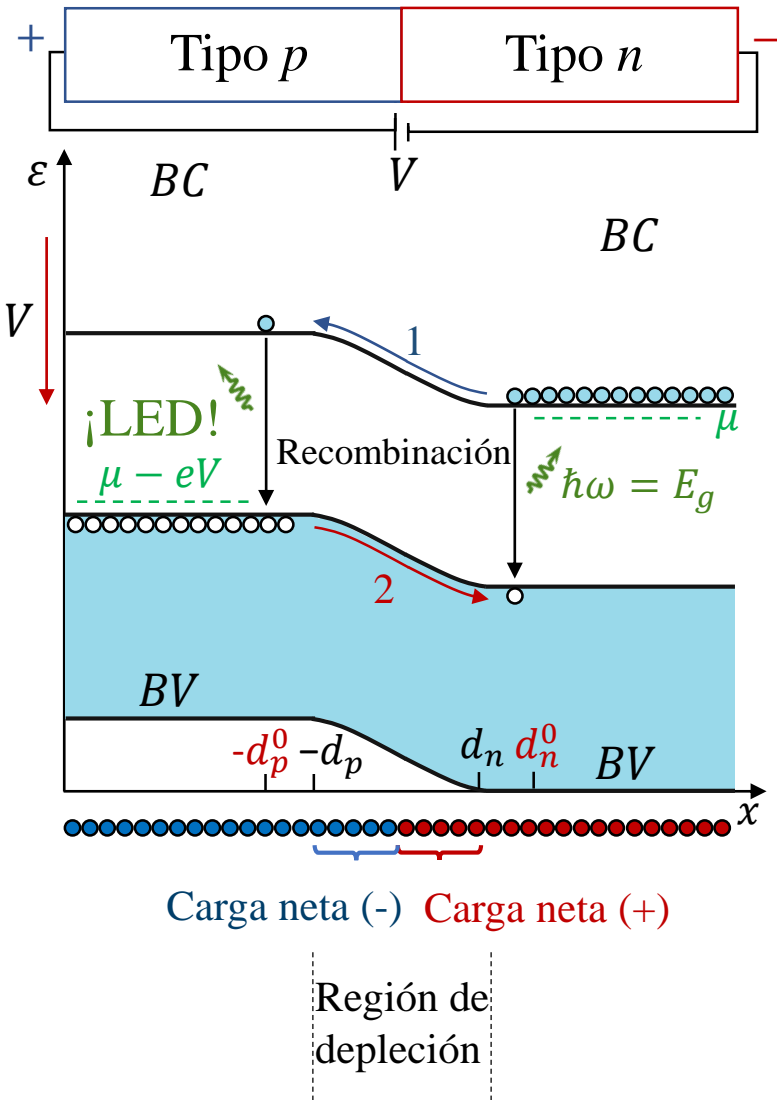
Corriente total

$$j = -eJ_e(-d_p) + eJ_h(d_n) = en_i^2 \left(\frac{D_n}{L_n N_a} + \frac{D_p}{L_p N_d} \right) \left(e^{\frac{V}{k_B T}} - 1 \right)$$



Juntura semiconductor $p-n$

Juntura semiconductor $p-n$: Corriente a través de la juntura



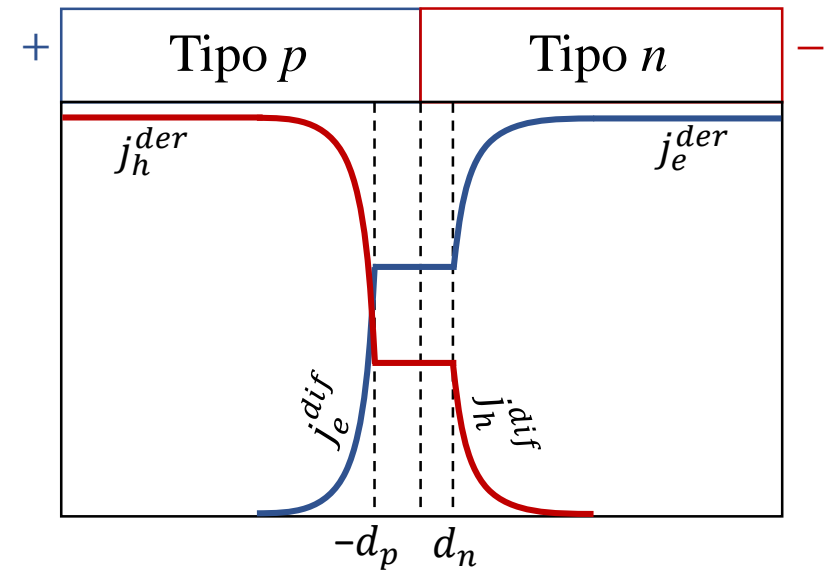
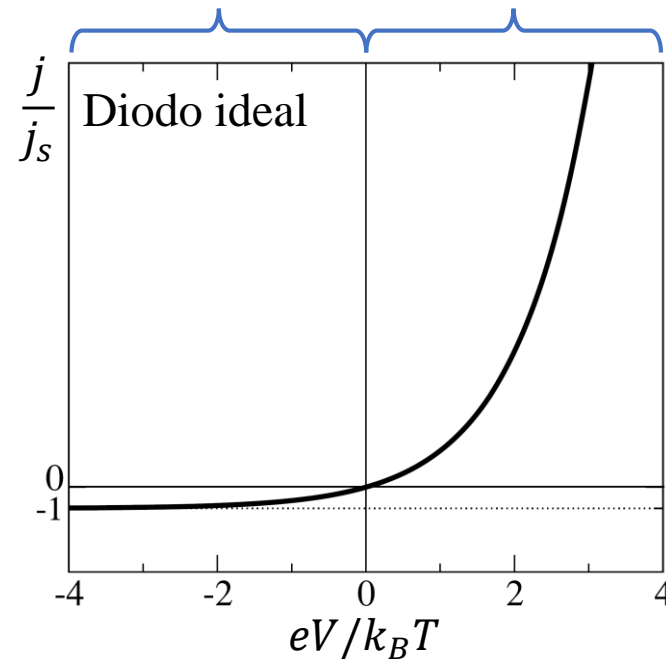
$$j = en_i^2 \left(\frac{D_n}{L_n N_a} + \frac{D_p}{L_p N_d} \right) \left(e^{\frac{V}{k_B T}} - 1 \right) = en_i^2 \left(\frac{L_n}{N_a \tau_n} + \frac{L_p}{N_d \tau_p} \right) \left(e^{\frac{V}{k_B T}} - 1 \right)$$

Corriente de saturación: $j_s \propto e^{-E_g/k_B T}$

$$L_{n,p} = \sqrt{D_{n,p} \tau_{n,p}}$$

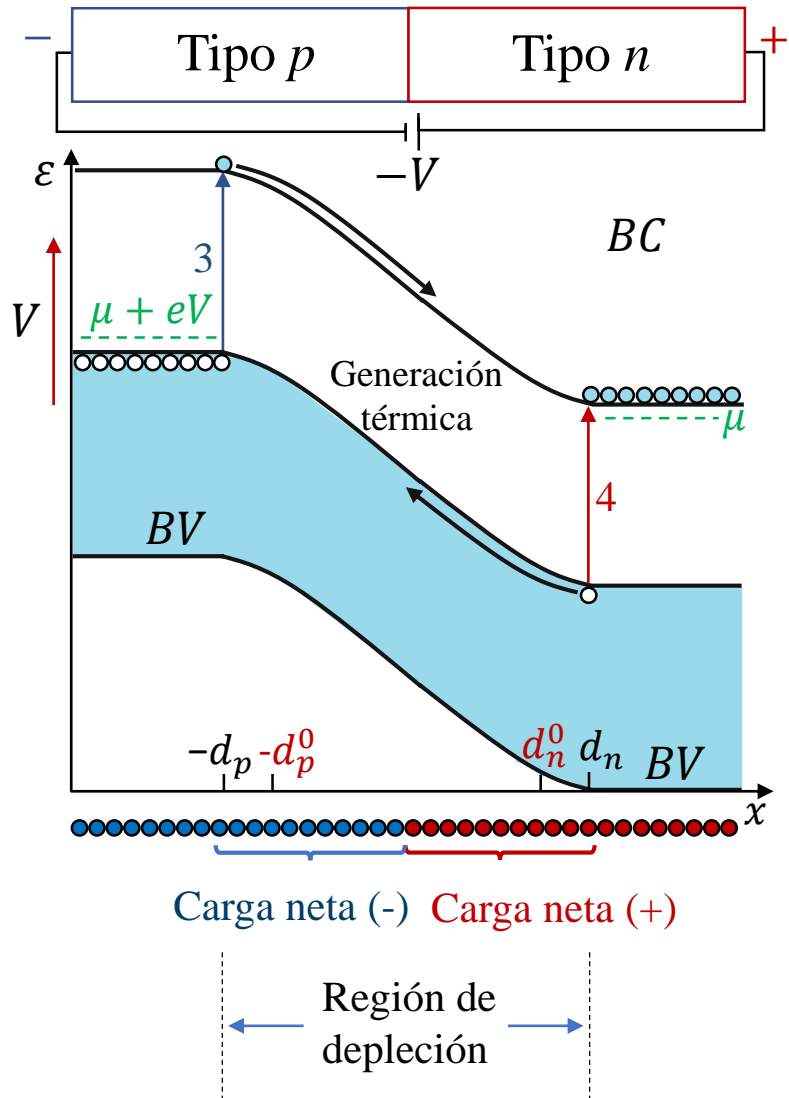
Polarización inversa Polarización directa

$$= e(J_e^{gen} + J_h^{gen}) \left(e^{\frac{V}{k_B T}} - 1 \right)$$



Juntura semiconductor $p-n$

Juntura semiconductor $p-n$: Corriente a través de la juntura



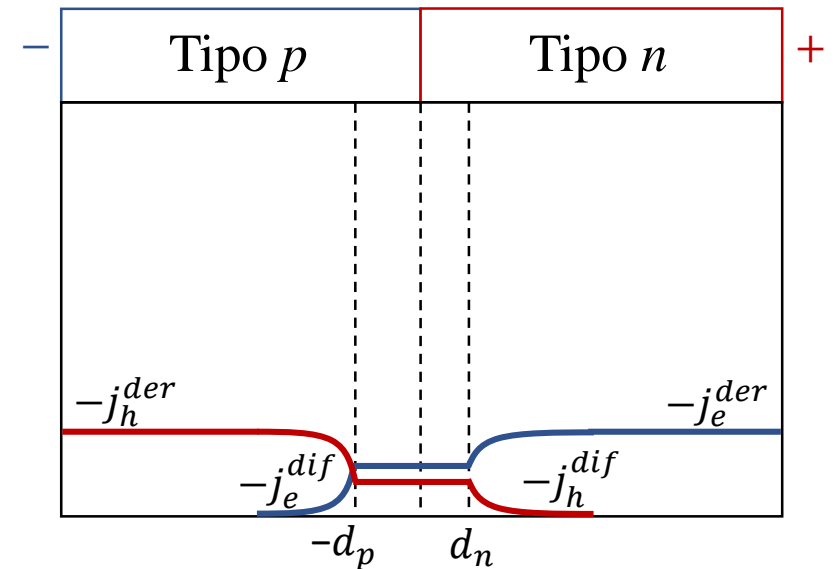
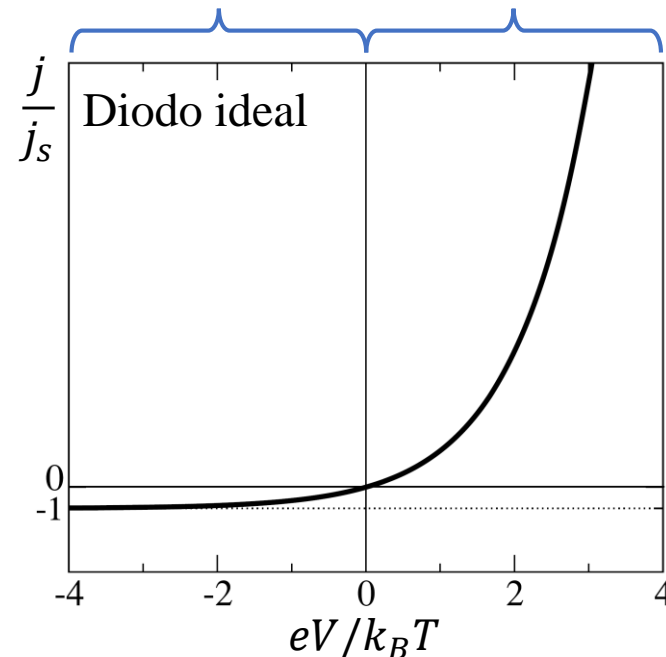
$$j = en_i^2 \left(\frac{D_n}{L_n N_a} + \frac{D_p}{L_p N_d} \right) \left(e^{\frac{V}{k_B T}} - 1 \right) = en_i^2 \left(\frac{L_n}{N_a \tau_n} + \frac{L_p}{N_d \tau_p} \right) \left(e^{\frac{V}{k_B T}} - 1 \right)$$

Corriente de saturación: $j_s \propto e^{-E_g/k_B T}$

$$L_{n,p} = \sqrt{D_{n,p} \tau_{n,p}}$$

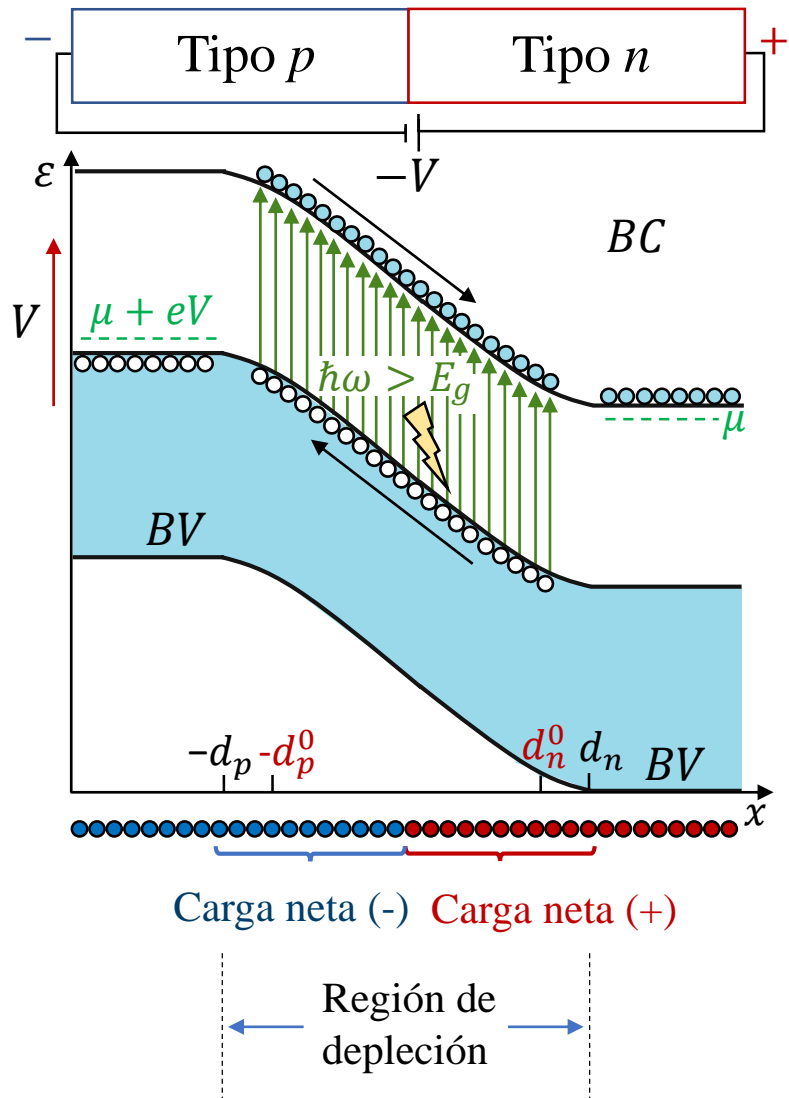
Polarización inversa Polarización directa

$$= e(J_e^{gen} + J_h^{gen}) \left(e^{\frac{V}{k_B T}} - 1 \right)$$



Juntura semiconductor $p-n$

Juntura semiconductor $p-n$: Corriente a través de la juntura



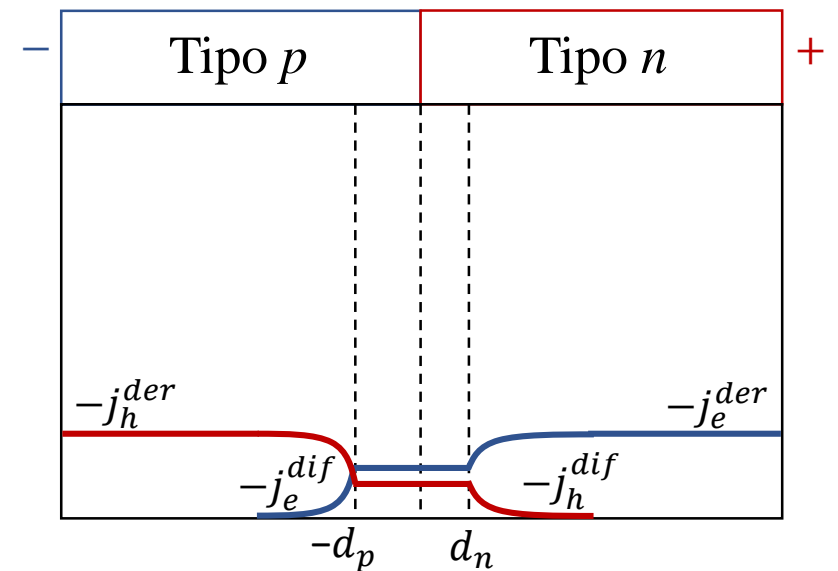
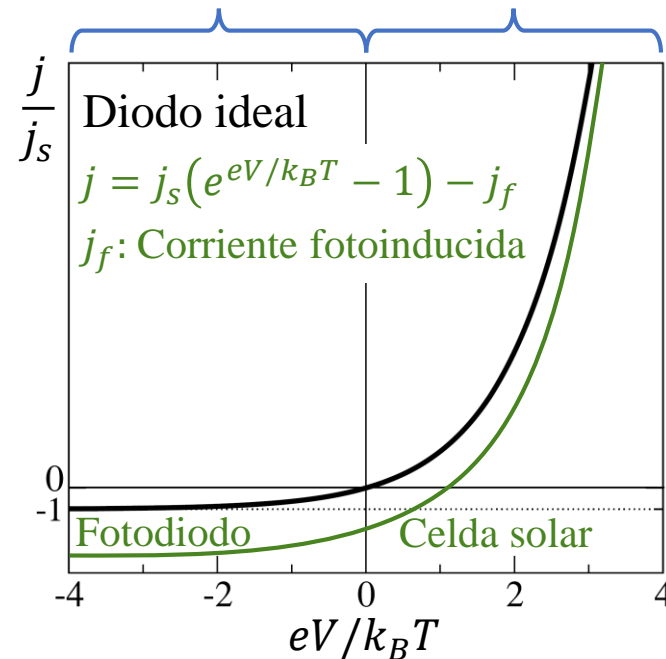
$$j = en_i^2 \left(\frac{D_n}{L_n N_a} + \frac{D_p}{L_p N_d} \right) \left(e^{\frac{V}{k_B T}} - 1 \right) = en_i^2 \left(\frac{L_n}{N_a \tau_n} + \frac{L_p}{N_d \tau_p} \right) \left(e^{\frac{V}{k_B T}} - 1 \right)$$

Corriente de saturación: $j_s \propto e^{-E_g/k_B T}$

$$L_{n,p} = \sqrt{D_{n,p} \tau_{n,p}}$$

Polarización inversa Polarización directa

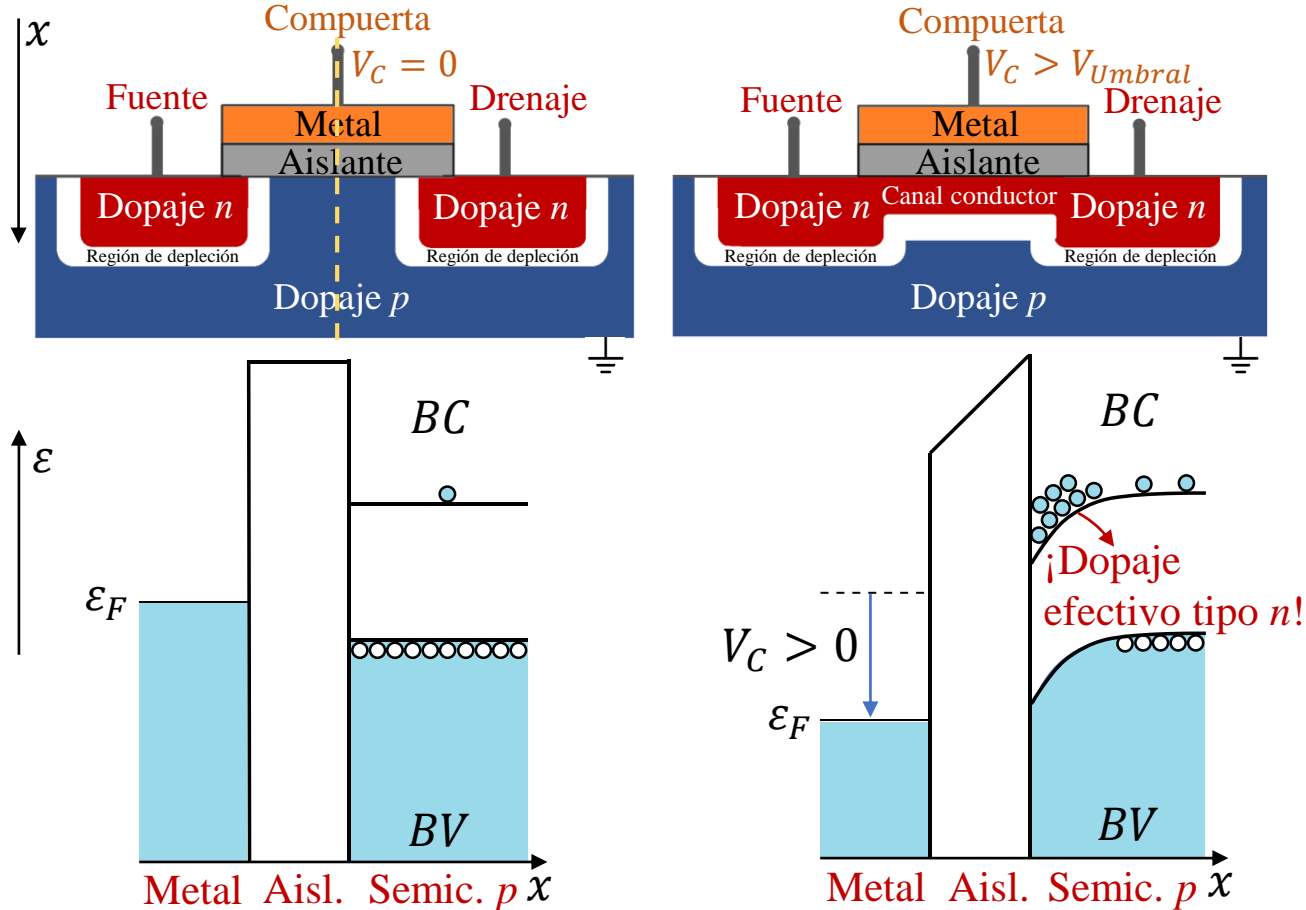
$$= e(J_e^{gen} + J_h^{gen}) \left(e^{\frac{V}{k_B T}} - 1 \right)$$



Transistor y pozos cuánticos

Transistor de efecto de campo (MOSFET)

Se utiliza principalmente como interruptor o amplificador.

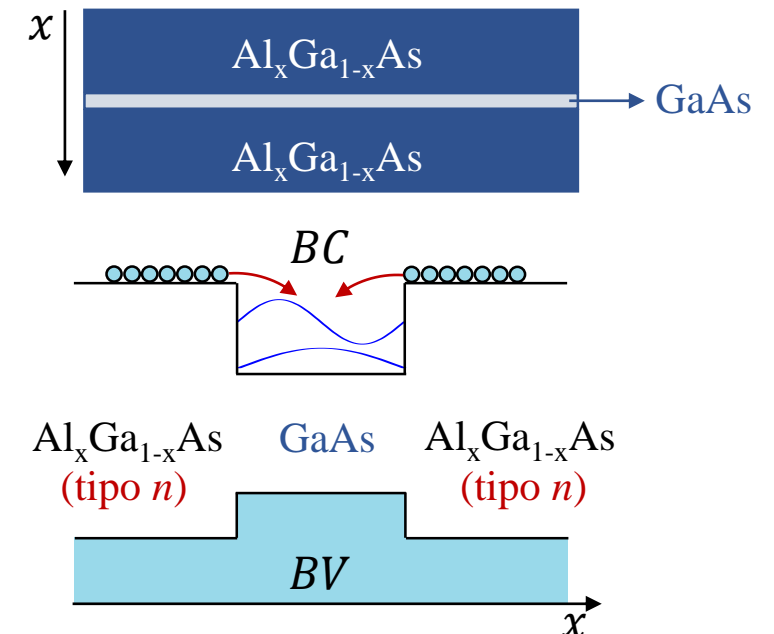


Al aumentar V_C por encima de V_{umbral} , se crea un canal de conducción, cuyo tamaño (y resistencia) depende de V_C .

Pozos cuánticos

GaAs y AlAs son semiconductores de *gap* directo con $E_g^{GaAs} = 1.4$ eV y $E_g^{AlAs} = 2.7$ eV. Aleaciones $Al_xGa_{1-x}As$ tienen E_g intermedios.

→ Heteroestructuras de $Al_xGa_{1-x}As/GaAs/Al_xGa_{1-x}As$ pueden formar pozos cuánticos.



Utilizando $Al_xGa_{1-x}As$ tipo $n(p)$, e^- (h^+) “caen” al pozo creando un gas bidimensional de e^- (h^+).

Resumen

- Región de depleción en la juntura $p-n$
- Respuesta ante un voltaje aplicado
- Corriente a través de la juntura
- Polarización directa e inversa
- Aplicaciones de junturas $p-n$

